

# Производящие семейства на Арбореллевских графах

Иван Яковлев\*

8 октября 2021 г.

## Аннотация

The paper is devoted to the study of exact curves on Arborealized Liouville surfaces. We introduce the notion of a generating family for such curves. Our main statement is a hamiltonian lifting property: the set of curves admitting a generating family is closed with respect to Hamiltonian isotopes.

This is part of the author's future thesis. It will be translated into English within a few weeks. In the future, we plan to generalize our results in several directions and find applications.

Keywords: Symplectic surfaces, Generating families, Arboreal spaces.

Работа посвящена изучению точных кривых на Арбореализованных Лиувилевых поверхностях. Мы вводим понятие производящего семейства для таких кривых. Наше основное утверждение это свойство гамильтонова подъема: множество кривых, допускающих производящее семейство, замкнуто относительно гамильтоновых изотопий.

Это часть будущей диссертации автора. В течении нескольких недель она будет переведена на английский язык. В дальнейшем, мы планируем обобщить наши результаты в нескольких направлениях и найти приложения.

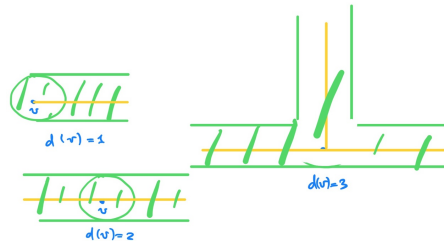
Ключевые слова: Симплектические поверхности, Производящие семейства, Арбореллевские пространства.

## 1 Введение

Кокасательные расслоения выделены среди других объектов симплектической топологии. В частности, для них развита техника производящих семейств, позволяющая строить Лагранжевы подмногообразия и изучать их в терминах гладкой геометрии базы. В этой статье мы обобщаем ее на некомпактные симплектические поверхности, а в будущем планируем разоб- рать случай Арбореализуемых Лиувилевых многообразий произвольной размерности.

Поверхности, с которыми мы работаем, можно рассматривать как обобщенные кокасательные расслоения от некоторых графов. **Арбореллевским графом** мы называем ленточный граф, валентность вершин которого не превышает трех, на котором для каждой вершины  $v$  валентности 3 зафиксирована ее "**ножка**", то есть одно из инцидентных ей ребер.

Стартуя с Арбореллевого графа мы строим поверхность, в которую граф вкладывается так, что поверхность ретрагируется на образ вложения. Она склеивается из стандартных плиток.



На поверхности  $S(\mathcal{T})$  задана каноническая симплектическая форма. Мы рассматриваем это симплектическое многообразие как аналог кокасательного расслоения от графа  $\mathcal{T}$ . Эта частный случай конструкции, которая изучалась в статье [3] для Арбореллевских пространств произвольной размерности. Мы подробно описываем ее для графов в обзорном разделе 2.

\*Работа выполнена при поддержке Лаборатории зеркальной симметрии НИУ ВШЭ, грант Правительства РФ Договор 14.641.31.0001

Нас интересуют точные кривые на поверхностях  $S(\mathcal{T})$ . Если мы работаем на плоскости или на цилиндре, хорошим источником кривых являются производящие семейства. В общем случае, поверхность  $S(\mathcal{T})$  допускает покрытие картами  $U_v$ , пронумерованными вершинами графа  $\mathcal{T}$ . На каждой из них задан выделенный симплектоморфизм с кокасательным пространством от интервала  $I_v$ , полученного объединением ребер, инцидентных вершине  $v$  и отличных от ее шляпки. Используя это покрытие, мы сопоставим каждой кривой на  $\mathbb{S}(\mathcal{T})$  набор кривых в кокасательных пространствах к ребрам  $\mathcal{T}$ . Скажем, что кривая **локально допускает производящие семейства**, если это верно для ее пересечений с любой картой. Мы обсуждаем эти определения в разделе 3.

Чтобы глобализовать это определение, нам необходимо наложить условия согласованности на производящие семейства для соседних карт  $U_v$  и  $U_w$ . Если общее ребро вершин  $v$  и  $w$  не является ножкой ни для одной из них, это сделать просто: достаточно потребовать, чтобы ограничения этих семейств на интервал ребра были стабильно эквивалентны. Если же  $e$  является ножкой, для определения ограничения приходится вводить оператор поворота  $\circlearrowleft$ . В разделе 4 мы приведем общую конструкцию, позволяющую получить этот оператор и проверить его свойства. Это главное техническое место статьи.

В последнем разделе 5 мы наконец определим производящие семейства на Арбореллевских графах. Главным инструментом в работе с производящими семействами является свойство гамильтонова подъема. Мы доказываем его аналог для Арбореллевских графов.

Основной результат этой статьи это следующее утверждение:

**Theorem 1.** *Рассмотрим кривую  $\gamma \subset \Sigma(\mathcal{T})$ , допускающую производящее семейство и*

$$\psi \in \text{Ham}(\Sigma(\mathcal{T})).$$

*Ее образ при Гамильтоновой изотопии  $\psi(\gamma)$  также допускает производящее семейство.*

Как мы указывали выше, Арбореллевские графы являются частным случаем Арбореллевских пространств, для которых точно также определены обобщенные кокасательные расслоения. В дальнейшем мы собираемся обобщить наши результаты на эту более общую ситуацию.

Теорема о поднятии гамильтоновой изотопии имеет множество применений. В том числе, из ее версии для семейств, квадратичных на бесконечности, выводится доказательство локальной версии Лагранжевой гипотезы Арнольда. Мы надеемся в будущем ввести аналог условия квадратичности на бесконечности и применить нашу теорему в этом контексте, чтобы получить обобщения локальной гипотезы Арнольда на Арбореллевские пространства.

## Благодарности

Я бы хотел поблагодарить П.Е. Пушкаря, который рассказал мне о производящих семействах, моих научных руководителей Л. Кацаркова из ВШЭ и А.А. Рослого из Сколтеха, а так же М.Э. Казаряна и Н.М. Курносова.

## 2 Симплектическая геометрия открытых поверхностей

**Поверхность** это двумерное вещественное многообразие без края конечного рода. Рассмотрим некомпактную поверхность  $S$  с симплектической структурой, заданной формой

$$\omega \in \Omega^2(S).$$

Так как  $H^2(S, \mathbb{R}) = 0$ , форма объема  $\omega$  точна. **Лиувиллева форма** это ее потенциал

$$\lambda \in \Omega^1(S, \mathbb{R}), \quad \omega = d\lambda.$$

**Лиувиллево векторное поле** двойственно  $\lambda$  относительно невырожденного спаривания  $\omega$

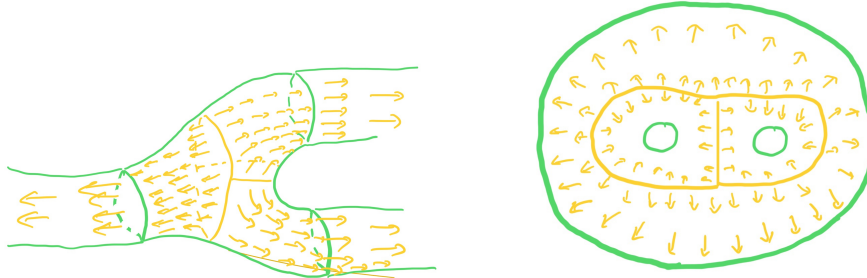
$$X \in \mathcal{X}(S), \quad \iota_X \omega = \lambda.$$

**Definition 1.** *Точная симплектическая поверхность  $\mathbb{S}$  это симплектическое многообразие размерности 2 с фиксированными Лиувиллевыми формой и векторным полем*

$$\mathbb{S} = (S, \omega, \lambda, X), \quad \omega = d\lambda, \quad \iota_X \omega = \lambda.$$

Поверхность  $\mathbb{S}$ , на которой поле  $X$  полно, называется **Лиувиллевой поверхностью**, если существует такое компактное подмногообразие с краем  $\Sigma \subset S$ , что поле  $X$

- не имеет нулей вне подобласти  $\Sigma$ ,
- трансверсально  $\partial\Sigma$  и "торчит наружу".



На картинке изображена поверхность "штаны" со стандартной симплектической структурой. Желтыми стрелочками обозначены линии Лиувиллева векторного поля, а сплошной желтой линией - множество его нулей.

Конечно, вся тройка тензоров  $(\omega, \lambda, X)$  восстанавливаются по Лиувиллевой форме  $\lambda$ . Изучение точных симплектических структур и Лиувиллевых многообразий (любой размерности) было начато в [14]. Современный обзор теории см. например [12], [13], [3], раздел 2.

### Лиувиллевы структуры на поверхностях

Определение Лиувиллевой поверхности аксиоматизирует свойства цилиндра  $\mathbb{T}^*(S^1)$ .

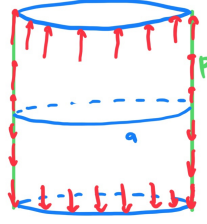
**Example 1.** На кокасательном пространстве  $T^*S^1$  определена каноническая 1-форма  $\theta$ :

$$\forall x \in S^1, v \in T_x^*S^1, l \in T_{(x,v)}(T^*S^1), \quad \theta_{(x,v)}(l) := \pi^*v_{(x,v)}(l) = \langle D\pi_{(x,v)}(l), v \rangle.$$

В координатах форма  $\theta$  имеет вид  $pdq$ , так что форма  $\omega = d\theta = dp \wedge dq$  невырождена. Лиувиллево векторное поле записывается как  $p \frac{\partial}{\partial p}$ , так что оно полно. В качестве  $\Sigma$  подойдет

$$\Sigma := D^*S^1 := \{(x, v) \in T^*S^1 \mid |v| \leq 1\}.$$

Таким образом  $\mathbb{T}^*(S^1) = (T^*S^1, dp \wedge dq, pdq, p \frac{\partial}{\partial p})$  является Лиувиллевой поверхностью.



На рисунке изображен цилиндр с координатами  $q, p$ . Красным отмечено векторное поле  $p \frac{\partial}{\partial p}$

По определению, Лиувиллева поверхность ориентирована. Кроме того, она некомпактна: в противном случае, она имеет конечную площадь, которая оказывается равна нулю

$$0 < Vol(S) = \int_{[S]} \omega = \langle [S], [\omega] \rangle = 0.$$

Сейчас мы построим Лиувиллеву структуру на любой некомпактной ориентируемой поверхности  $S$ . Для начала введем на  $S$  структуру римановой поверхности. Известно, что полученную кривую можно голоморфно и собственно вложить в аффинное пространство  $\mathbb{C}^n$ .

**Example 2.** Рассмотрим замкнутую комплексную кривую  $S \subset \mathbb{C}^n$ . Ограничение

$$f := |z|^2|_S \in C^\infty(S)$$

функции  $|z|$  на  $S$  определяет плюрисубгармоническую функцию  $f$ . Другими словами,

$$\forall p \in S, \forall v \in T_p S, -dd^c f_z(v, Jv) > 0,$$

то есть форма  $\omega := -dd^c f$  невырождена. В качестве Лиувиллевой формы рассмотрим

$$\lambda := -d^c f.$$

Лиувиллево поле для  $\lambda$  совпадает с градиентом  $\nabla_\rho f$  относительно метрики  $\rho = \omega(J \cdot, \cdot)$ . В частности, оно полно. Рассмотрим  $t \in \mathbb{R}$ , превышающее все критические значения  $f$

$$t > \max vCrit(f).$$

Тогда поверхность с краем  $\Sigma := f^{-1}((-\infty, t])$  удовлетворяет нашему условию, а значит

$$\mathbb{S} := (S, -dd^c f, -d^c f, \nabla_\rho f)$$

является Лиувиллевой поверхностью. Она называется **Штейновой поверхностью**.

Таким образом, на  $S$  существует Лиувиллева структура. Достаточно хорошая структура Лиувиллевой поверхности на  $S$  единственна. Мы не будем это доказывать, но определение изоморфизма Лиувиллевых поверхностей дадим.

**Definition 2.** **Изоморфизм** Лиувиллевых поверхностей  $\Phi$  это такой диффеоморфизм

$$\Phi : \mathbb{S}_1 \rightarrow \mathbb{S}_2, \text{ что}$$

$$\Phi^* \lambda_2 = \lambda_1 + dh, \quad h \in C^\infty(S_1)$$

где  $h$  имеет компактный носитель. В частности,  $\Phi$  это точный симплектоморфизм.

Напомним, что **гамильтоновым симплектоморфизмом**  $\mathbb{S}$  называется диффеоморфизм

$$\psi \in Ham(\mathbb{S}),$$

для которого найдется семейство  $H_t \in C^\infty(S), t \in [0, 1]$ , такое, что  $\psi = \psi_1$ , где

$$\psi_t \in Diff(S),$$

$$\frac{\partial}{\partial t} \psi_t = X_t \circ \psi_t, \quad \iota_{X_t} \omega = dH_t.$$

**Носителем** диффеоморфизма  $\psi$  называется замыкание  $supp(\psi) := \overline{\{x \in S \mid \psi(x) \neq x\}}$ . Группа гамильтоновых симплектоморфизмов  $\mathbb{S}$  с компактным носителем обозначается  $Ham^c(\mathbb{S})$ .

**Example 3.** Рассмотрим  $\psi \in \text{Ham}^c(\mathbb{S})$  и соответствующее семейство  $H_t$ . Тогда

$$\mathcal{L}_{X_t}(\lambda) = \iota_{X_t}\omega + d\iota_{X_t}\lambda = d(H_t + \iota_{X_t}\lambda) \Rightarrow \psi_{t_0}^*(\lambda) = \lambda + d \int_0^{t_0} (H_t + \iota_{X_t}\lambda) dt.$$

Таким образом  $\psi$  это точный симплектоморфизм. Так как  $\text{supp}(\psi)$  компактен, а  $\psi^*(\lambda) - \lambda$  тождественно равно 0 вне  $\text{supp}(\psi)$ ,  $\psi$  определяет Лиувиллев автоморфизм поверхности  $\mathbb{S}$ .

### Скелет Лиувиллевой поверхности

Рассмотрим Лиувиллеву поверхность  $\mathbb{S} = (S, \omega, \lambda, X)$  и соответствующую поверхность  $\Sigma$ . По формуле Картана, производная вдоль  $X$  сохраняет  $\lambda$ , а его поток  $\phi_t$  растягивает  $\lambda$

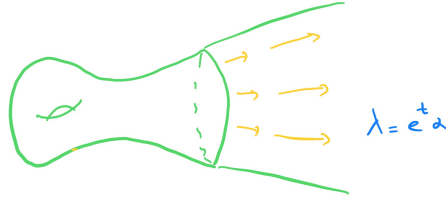
$$\begin{aligned} \mathcal{L}_X(\lambda) &= \iota_X d\lambda + d\iota_X \lambda = \iota_X \omega + \iota_X \iota_X \omega = \lambda, \\ \frac{\partial}{\partial t} \phi_t^* \lambda &= \phi_{t_0}^* (\mathcal{L}_X(\lambda)) = \phi_{t_0}^* \lambda \Rightarrow \phi_{t_0}^* \lambda = e^t \lambda. \end{aligned}$$

По теореме о трубчатой окрестности, он задает диффеоморфизм

$$\Phi = (\phi_t, t) : (\partial\Sigma \times \mathbb{R}_-, d(e^t\alpha), e^t\alpha, \frac{\partial}{\partial t}) \rightarrow (Op(\partial\Sigma), \omega, \lambda, X).$$

Используя эту тривиализацию, продолжим  $(\omega, \lambda, X)$  на некомпактное многообразие

$$\widehat{\Sigma} := \Sigma \cup_{\partial\Sigma} \partial\Sigma \times [0, +\infty), (\omega, \lambda, X)|_{\partial\Sigma \times \mathbb{R}} = (d(e^t\alpha), e^t\alpha, \frac{\partial}{\partial t}).$$



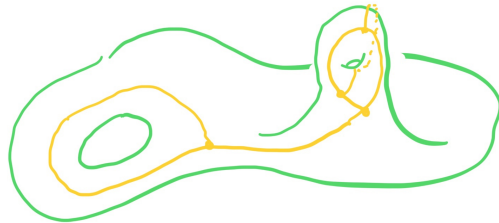
Результат пополнения области, полученной выкидыванием открытого диска из тора.

Поверхность с краем  $\Sigma$  называется Лиувиллевой областью, а  $\widehat{\Sigma}$  ее пополнением. Так как  $X$  полное и не имеет нулей вне  $\Sigma$ , его поток определяет диффеоморфизм  $\widehat{\Sigma}$  на  $S$ . Поле  $X$  действует на  $\lambda$  и  $\omega$  растяжениями, так что полученный диффеоморфизм сохраняет  $(\omega, \lambda, X)$

$$\Phi : \mathbb{S} \cong \widehat{\Sigma}.$$

Наоборот, дополнение до края Лиувиллевой области  $\Sigma$  наделяется структурой Лиувиллевой поверхности, изоморфной  $\widehat{\Sigma}$ . Это позволяет думать про  $\Sigma$  как про компактификацию  $\mathbb{S}$ . Таким образом,  $\mathbb{S}$  определяется произвольной Лиувиллевой подобластью  $\Sigma \subset S$ . Пересечение всех подобластей называется **скелетом** Лиувиллевой поверхности  $\mathbb{S}$ . Это аттрактор поля  $-X$

$$Sk(\mathbb{S}) := \{p \in S \mid \text{траектория } \phi_t(p) \text{ содержится в компакте}\} = \bigcap_{t>0} \phi_{-t}(\Sigma).$$



Желтым изображен скелет зеленой области

Скелет Лиувиллевой поверхности  $\mathbb{S}$  это компактное подмножество  $S$  меры 0. Поток  $\phi_t$  Лиувиллева поля  $X$  сохраняет скелет  $Sk(\mathbb{S})$  и ретракирует на него всю поверхность  $S$ .

**Example 4.** Скелет Лиувиллевой поверхности  $\mathbb{T}^*S^1$  совпадает с нулевым сечением  $0_{S^1}$ .

Мы хотим рассматривать  $Sk(\mathbb{S})$  как аналог нулевого сечения Лиувиллевой поверхности, а саму поверхность  $\mathbb{S}$  как "обобщенное кокасательное расслоение" от ее скелета. Наша задача - определить производящие семейства на  $Sk(\mathbb{S})$  исходя из этой аналогии. Теория производящих семейств основана на том, что гладкая геометрия  $0_{S^1}$  определяет симплектическую геометрию  $\mathbb{T}^*S^1$ . Однако то, что скелет  $\mathbb{T}^*Q$  гладкий, это аномалия.

**Example 5.** Пусть  $Sk(\mathbb{S})$  является гладким многообразием. Так как  $Sk(\mathbb{S})$  вложен в  $S$  и имеет меру 0, его размерность не превышает 1. Так как скелет связан и компактен, это отрезок, окружность или точка. Таким образом, поверхность  $\mathbb{S}$  гомотопически эквивалентна  $S^1$  или стягиваема, а значит она диффеоморфна цилиндру или плоскости.

Для других  $\mathbb{S}$  скелет не гладкий и, более того, может выглядеть очень плохо. Однако,  $Sk$  не инвариантен при Лиувиллевых изоморфизмах, так что можно поискать наиболее простую форму скелета для Лиувиллевых поверхностей, изоморфных  $\mathbb{S}$ .

**Example 6.** Рассмотрим Штейнову поверхность  $\mathbb{S} := (S, -dd^c f, -d^c f, \nabla_\rho f)$ . Так как  $f$  растет вдоль потока  $\nabla_\rho f$ , траектория  $\phi_t(x)$  содержится в компакте тогда и только тогда, когда  $\lim \phi_t(x)$  является критической точкой  $f$ . Таким образом, скелет это объединение

$$Sk(\mathbb{S}) := \bigcup_{p \in Crit(f)} W^{st}(p), \quad W^{st}(p) := \{x \in S \mid \lim_{t \rightarrow \infty} \phi^t(x) = p\}$$

стабильных подмногообразий  $W^{st}(p)$  для всех критических точек  $p$  функции  $f$ .

Так как плюрисубгармоничность это открытое условие, мы можем выбрать в качестве  $f$  функцию Морса-Смейла. Тогда каждое из множеств  $W^{st}(p)$  является объединением конечного числа градиентных траекторий, заканчивающихся в  $p$ . Следовательно,  $Sk(\mathbb{S})$  является вложенным графом, то есть таким графом  $\Gamma$ , каждое ребро которого гладко вложено в  $S$ .

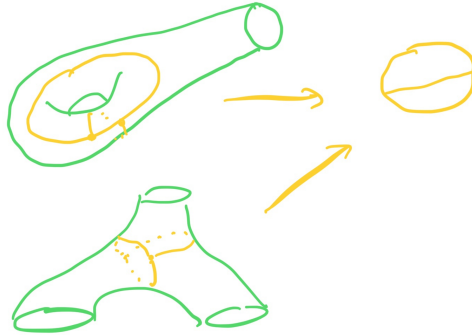
## Арбореллевы графы

Ниже, мы определим производящее семейство на  $\Gamma$  и сопоставим ему кривую в  $\mathbb{S}$ ,  $Sk(\mathbb{S}) = \Gamma$ . Чтобы это сделать, надо уметь восстанавливать поверхность  $\mathbb{S}$  по ее скелету  $\Gamma$ . Лиувиллева поверхность  $\mathbb{S}$  восстанавливается по произвольной открытой окрестности  $Op(\Gamma)$ , так как

$$\Sigma \subset Op(\Gamma)$$

для некоторой Лиувиллевой подобласти  $\Sigma \subset S$  и  $\mathbb{S} = \widehat{\Sigma}$ . Таким образом, достаточно уметь восстанавливать  $Op(\Gamma)$ . Если  $\Gamma = S^1$ , то по теореме Вайнштейна  $Op(\Gamma) = \mathbb{T}^*(S^1)$ , однако для произвольного графа восстановить ее окрестность невозможно.

**Example 7.** Рассмотрим граф  $\Gamma \subset S$  с одной вершиной и двумя петлями. Его окрестность  $Op(\Gamma)$  диффеоморфна либо проколотому тору, либо штанам. Это зависит от того, как подклеиваются ленточки, отвечающие ребрам, к дискам, отвечающим вершинам.



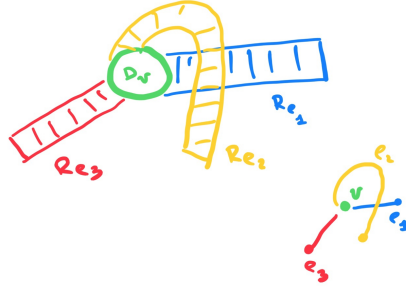
Обозначим множество вершин некоторого конечного графа  $\Gamma$  за  $\mathcal{V}(\Gamma)$ , а множество ребер за  $\mathcal{E}(\Gamma)$ . Для каждой вершины  $v \in \mathcal{V}(\Gamma)$  рассмотрим множество инцидентных ему ребер

$$\mathcal{E}(\Gamma, v) := \{e \in \mathcal{E}(\Gamma) \mid \text{ребро } e \text{ инцидентно вершине } v\}, \quad d(v) := \#\mathcal{E}(\Gamma, v).$$

**Ленточная структура** на графе  $\Gamma$  это циклический порядок на каждом из  $\mathcal{E}(\Gamma, v)$ . На графе, вложенном в ориентированную поверхность, он определен поворотом по часовой стрелке. Ленточному графу  $\Gamma$  отвечает компактная ориентированная поверхность с краем  $\Sigma(\Gamma)$ .

**Definition 3.** *Поверхность  $\Sigma(\Gamma)$  это объединение замкнутых дисков  $\mathbb{D}_v$ ,  $v \in \mathcal{V}(\Gamma)$  и лент  $R_e := [0, 1] \times [-1, 1]$ ,  $e \in \mathcal{E}(\Gamma)$  склеенных в соответствии с ленточной структурой на  $\Gamma$*

$$\Sigma(\Gamma) := \bigsqcup_{v \in \mathcal{V}(\Gamma)} \mathbb{D}_v \cup \bigsqcup_{e \in \mathcal{E}(\Gamma)} R_e.$$

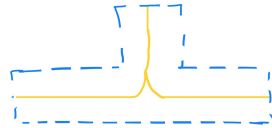


Участок поверхности  $\Sigma(\Gamma)$ , отвечающий вершине и трем инцидентным ей ребрам.

Некомпактная ориентированная поверхность  $S(\Gamma) := \widehat{\Sigma(\Gamma)}$  получается пополнением  $\Sigma(\Gamma)$

$$S(\Gamma) : \Sigma(\Gamma) \cup_{\partial(\Sigma(\Gamma))} \partial(\Sigma(\Gamma)) \times \mathbb{R}_+.$$

Заметим, что  $S(\Gamma)$  гомотопически эквивалентна  $\Gamma$ . Для графа  $\Gamma$ , вложенного в ориентированную поверхность,  $S(\Gamma)$  диффеоморфна достаточной малой открытой окрестности  $Op(\Gamma)$ . Теперь мы построим Лиувиллеву структуру на  $S(\Gamma)$ , с которой будет удобно работать. Можно считать, что валентность  $d(v)$  всех вершин  $\Gamma$  не превышает трех. Это условие на скелет  $\mathbb{S}$  не ограничительно: для Штейновой поверхности этого можно добиться, приведя функцию  $f$  в общее положение. В таком случае,  $\Sigma(\Gamma)$  есть результат склейки ленточек и  $T$ -образных перекрестков, каждый из которых является компактной поверхностью с углами.



Для каждой вершины валентности 3 нам надо зафиксировать одно из инцидентных ей ребер.

**Definition 4.** *Арбореллеватский граф  $\mathcal{T}$  это конечный ленточный граф  $\Gamma$ , для которого*

$$\forall v \in \mathcal{V}(\Gamma) \quad d(v) \leq 3,$$

на котором для каждой вершины  $v, d(v) = 3$  зафиксирована ее "ножка", то есть ребро

$$l(v) \in \mathcal{E}(\Gamma, v).$$

Мы предполагаем, что  $\Gamma$  не имеет двойных ребер.

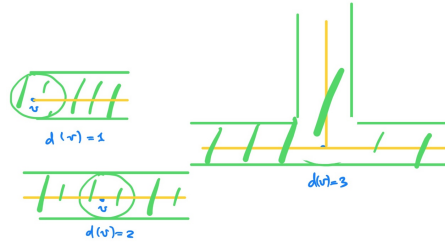
Сейчас мы построим Лиувиллеву структуру на поверхности  $S(\Gamma)$ , используя структуру Арбореллеватского графа  $\mathcal{T}$ . Для каждой вершины  $v \in \mathcal{V}(\Gamma)$  зафиксируем ее окрестность, пересечение которой с  $\Sigma(\Gamma)$  определяется только валентностью  $v$  и имеет стандартный вид

$$\{|p|^2 + |q|^2 \leq 1\} \cup \{q > 0, |p| < 1\} \text{ при } d(v) = 1,$$

$$\{|p| \leq 1\} \text{ при } d(v) = 2 \text{ и}$$

$$\{|p| \leq 1\} \cup \{|q| \leq 1, |p| > 0\} \text{ при } d(v) = 3.$$





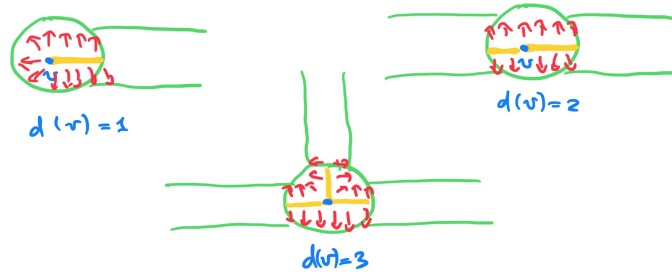
Рассмотрим гладкое вложение  $\Gamma$  в  $S(\Gamma)$ , образ которого содержит объединение "нулевых сечений"  $J_e := (0, 1) \times \{0\} \subset R_e$  и пересекается с этими открытыми множествами как

$$\{p = 0, q \geq 0\} \text{ при } d(v) = 1,$$

$$\{p = 0\} \text{ при } d(v) = 2 \text{ и}$$

$$\{p = 0\} \cup \{q = 0, p > 0\} \text{ при } d(v) = 3.$$

Каждая из лент  $R_e$  определяет в  $S(\Gamma)$  подмножество, диффеоморфное  $J_e \times \mathbb{R}$ . Введем на нем Лиувиллеву структуру, совпадающую со стандартной Лиувиллевой структурой на  $T^*[0, 1]$ . Продолжим ее на каждый из дисков  $D_v$  так, что в стандартных координатах на диске симплектическая форма имеет вид  $\omega = dp \wedge dq$ , Лиувиллева форма отличается от  $p dq$  на дифференциал функции  $h$ , а Лиувиллево векторное поле  $X$  имеет следующий вид



В качестве  $h$  можно выбрать, в зависимости от валентности  $d(v)$  вершины  $v$ , функцию

- интерполирующую 0 на правой полуплоскости и  $-pq/2$  на левой, если  $d(v) = 1$ ;
- тождественно равную нулю, если  $d(v) = 2$ ;
- инетрполирующую 0 на дополнении лент шляпки шляпки до окрестности  $v$  и  $-pq$  на дополнении ленты ножки до окрестности  $v$ .

**Definition 5.** *Лиувиллева поверхность  $\mathbb{S}(\mathcal{T})$ , отвечающая Арбореллевскому графу  $\mathcal{T}$  это*

$$(S(\Gamma), d\lambda, \lambda, X).$$

Заметим, что  $\Sigma(\mathcal{T})$  является Лиувиллевой подобластью поверхности  $\mathbb{S}(\mathcal{T})$ , и кроме того

$$Sk(\mathbb{S}(\mathcal{T})) = \Gamma.$$

### 3 Точные кривые на Лиувиллевых поверхностях

**Кривой** на Лиувиллевой поверхности  $\mathbb{S}$  называется вложение одномерного многообразия

$$\iota : C \rightarrow S.$$

Кривая  $(C, \iota)$  является Лагранжевым подмногообразием  $(S, \omega)$ , так как  $\omega$  тождественно зануляется на  $\iota(C)$ . Если к тому же интеграл  $\int_\gamma \lambda$  равен нулю, кривая называется **точной**.



**Definition 6.** Точной, или сбалансированной кривой на  $\mathbb{S}$  называется пара

$$\gamma = (C, \iota),$$

где  $\iota : C \rightarrow S$  это параметризованная кривая, для которой существует потенциал

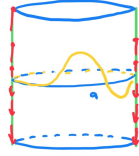
$$f \in C^\infty(C); \quad df = \iota^* \lambda.$$

Мы обозначаем той же буквой  $\gamma$  соответствующее подмногообразие  $\iota(C)$  и пишем  $\gamma \subset \mathbb{S}$ .

Лиувиллев автоморфизм  $\phi$  поверхности  $\mathbb{S}$  переводит точную кривую  $\gamma \subset \mathbb{S}$  в  $\phi(\gamma)$

$$\phi(\gamma) := (C, \phi \circ \iota, f + h \circ \iota), \quad \text{где}$$

$$\gamma = (C, \iota, f), \quad \phi^* \lambda = \lambda + dh.$$



Точная кривая, полученная шевелением нулевого сечения цилиндра.

## Производящие семейства на гладких кривых

Рассмотрим в качестве  $(S, \omega)$  кокасательное расслоение  $\mathbb{T}^*(Q)$  к окружности или прямой. Существует общая конструкция, позволяющая строить точные кривые на этих поверхностях.

**Definition 7.** Производящее семейство над кривой  $Q$  это такая пара  $(E, F) \in Gf(Q)$

- $\pi_E : E \rightarrow Q$  - тривиализованное гладкое расслоение, слой которого диффеоморфен  $\mathbb{R}^n$ ;
- $F \in C^\infty(E)$  - функция, для которой  $\frac{\partial}{\partial \xi} F(x)$  трансверсален нулю для каждой точки  $x$

$$F_\xi(x) = d_x F|_{T_x(E_x)} : T_x(E_x) \rightarrow T_{F(x)} \mathbb{R} \cong \mathbb{R} \ni \{0\}.$$

Множество послойных критических точек семейства  $C_{E,F} := \{F_\xi(x) = 0\}$  это гладкая кривая на  $E$ , которую можно погрузить в  $\mathbb{T}^*Q$  по формуле  $\iota_{E,F}(x) := (\pi_E(x), F_q(x))$ . Кривая

$$\gamma \subset \mathbb{T}^*Q$$

допускает производящее семейство  $(E, F) \in Gf(Q)$ , и порождается им, если существует диффеоморфизм  $\phi : C \rightarrow C_{E,F}$ , для которого выполнено  $\iota = \iota_{E,F} \circ \phi$ ,  $f = F \circ \phi$ .

**Example 8.** Простейший пример производящего семейства задается функцией  $f \in C^\infty(Q)$

$$E = Q, \quad F \equiv f.$$

В таком случае, пара  $(E, F)$  называется производящей функцией и определяет вложение

$$C_{E,F} = Q \xrightarrow{df} \mathbb{T}^*Q.$$

В частности, нулевое сечение  $0_Q$  допускает производящую функцию  $f \equiv 0$ .

Малое гамильтоново шевеление точной кривой, допускающей производящее семейство, снова допускает производящее семейство. Обобщение этого утверждения на произвольные гамильтоновы шевеления это главный инструмент в работе с производящими семействами.

**Theorem 2** (Свойство гамильтонова подъема [11]). Образ кривой  $\gamma_{E,F} \subset \mathbb{T}^*(Q)$  под действием Гамильтоновой изотопии  $\psi \in \text{Ham}^c(\mathbb{T}^*(Q))$  также допускает производящее семейство.

Производящее семейство для кривой  $\gamma_{E,F} \subset \mathbb{T}^*Q$  не единственно. Стартуя с  $(E, F)$ , мы можем построить новые производящие семейства для  $\gamma_{E,F}$ , используя следующие операции.

- Семейства  $(E_i, F_i) \in Gf(Q)$  эквивалентны  $(E_1, F_1) \cong (E_2, F_2)$ , если существует расслоненный диффеоморфизм  $\psi : E_1 \rightarrow E_2$ , для которого  $F_1 := \psi^* F_2$ . Тогда  $\gamma_{E_i, F_i}$  совпадают

$$\psi(C_{E_1, F_1}) = C_{E_2, F_2}, \quad \iota_{E_1, F_1} = \iota_{E_2, F_2} \circ \psi.$$

- Семейство  $(E', F')$  называется **стабилизацией** семейства  $(E, F)$ , если для некоторого векторного пространства  $V$  и невырожденной квадратичной формы  $q$  на  $V$  выполнено

$$(E', F') := (E, F) \times (V, q).$$

Семейство  $(E', F')$  порождает кривую  $\gamma_{E', F'}$ , так как  $C_{E', F'} = C_{E, F} \times (0)$ ,  $\iota_{E', F'} = \iota_{E, F}$ .

Комбинируя эти две операции, получаем следующее определение

**Definition 8.** Производящие семейства  $(E_i, F_i) \in Gf(Q)$  **стабильно эквивалентны**

$$(E_1, F_1) \cong^{st} (E_2, F_2),$$

если существует невырожденная квадратичная форма  $q$  на пространстве  $\mathbb{R}^n$ , для которой

$$(E_1, F_1) \oplus (\mathbb{R}^n, q) \cong (E_2, F_2).$$

## Стандартное покрытие поверхности $\mathbb{S}(\mathcal{T})$

Зафиксируем Арбореллевский граф  $\mathcal{T}$ . Сейчас мы построим покрытие соответствующей ему Лиувиллевой поверхности  $\mathbb{S}(\mathcal{T})$  картами Дарбу, пронумерованными вершинами графа  $\mathcal{T}$

$$U_v, \quad v \in \mathcal{V}(\Gamma).$$

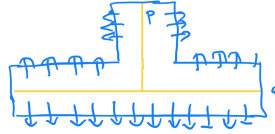
На  $\Sigma(\Gamma)$  задано покрытие  $\{W_v\}$ , пронумерованное множеством вершин графа  $\mathcal{V}(\Gamma)$

$$\Sigma(\Gamma) = \bigcup_{v \in \mathcal{V}(\Gamma)} W_v, \quad W_v := \mathbb{D} \cup \bigsqcup_{e \in \mathcal{E}(\Gamma, v)} R_e.$$

В случае валентности  $d(v) = 3$  карта  $W_v$  отождествляется со следующим подмножеством

$$\Sigma(\perp) = \{(q, p) \in \mathbb{V} \mid \text{где } p \geq -1 \text{ и } p \leq 1 \text{ при } |q| \geq 1\}$$

которое называется **перекрестком**. Мы обозначаем за  $\perp$  граф с 1 вершиной и 3 полуребрами.



Обозначим за  $I_e \subset S(\Gamma)$  интервал ребра  $e$ . Для вершины  $v \in \mathcal{V}(\Gamma)$  рассмотрим интервал  $I_v$ , полученный пересечением объединения  $\{v\} \cup \bigcup_{e \in \mathcal{E}(\Gamma, v) - \{l(v)\}} I_e$  и карты  $W_v$

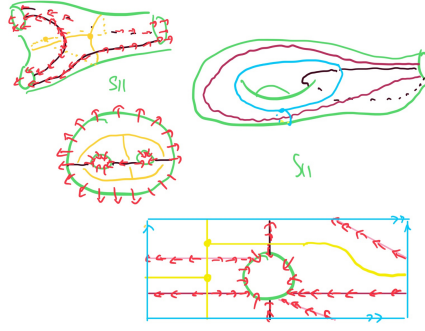
$$I_v := (\{v\} \cup \bigcup_{e \in \mathcal{E}(\Gamma, v) - \{l(v)\}} I_e) \cap W_v \subset S(\Gamma).$$

Каждый из интервалов  $I_v$  гладко вложен в  $\mathbb{S}(\mathcal{T})$ . Для  $d(v) = 3$  он называется **"шляпкой"**. Пересечение  $W_v$  и  $W_w$  есть объединение лент, отвечающих ребрам, соединяющим  $v$  и  $w$

$$W_v \cap W_w = \bigcup_{e \in \mathcal{E}(\Gamma, v, w)} R_e,$$

$$\mathcal{E}(\Gamma, v, w) := \mathcal{E}(\Gamma, v) \cap \mathcal{E}(\Gamma, w).$$

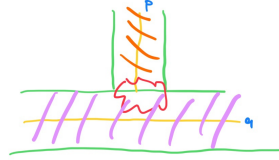
**Example 9.** На рисунках изображены покрытия картами "штанов" и проколотого тора.



Покрытие  $W_v$  определяет покрытие  $S(\Gamma)$  координатными картами  $U_v$ , каждая из которых в свою очередь представляется как объединение открытого диска и нескольких копий  $T^*[0, 1]$ . Каждая из карт  $U_v$  допускает симплектоморфизм на  $\mathbb{V} := (\mathbb{R}_{q,p}^2, dp \wedge dq)$ , который переводит

$$I_e \text{ в } O_q := \{p = 0\}, \mathbb{D}_v \text{ в } \{p^2 + q^2 < 1\}.$$

Таким образом,  $W_v$  симплектоморфно  $\mathbb{T}^*(I_e)$ , так что  $U_v$  являются картами Дарбу поверхности  $\mathbb{S}(\mathcal{T})$ . Для каждого  $e \in \mathcal{E}(\Gamma)$  задано вложение  $T^*I_e \rightarrow \mathbb{S}$ , продолжающее вложение  $R_e \rightarrow \mathbb{S}$  и являющееся симплектоморфизмом на свой образ.



Поток векторного поля  $-X$  определяет ретракцию  $\pi$  поверхности  $\mathbb{S}(\Gamma)$  на граф  $\Gamma$ . Каждая из карт  $U_v$  инвариантна относительно этой проекции, то есть  $\pi$  склеивается из

$$\pi_v : U_v \rightarrow \bigcup_{e \in \mathcal{E}(\Gamma, v)} I_e.$$

На пересечениях карт  $\pi$  совпадает с проекцией касательного расслоения

$$T^*(J_e) \rightarrow J_e.$$

### Кривые, локально допускающие производящее семейство

Рассмотрим точную кривую  $\gamma = (C, \iota, f)$  на  $\mathbb{S}(\mathcal{T})$ . Обозначим ее пересечение с картами  $U_v$  как

$$\gamma_v = (C_v, \iota_v, f_v),$$

$$C_v := \iota^{-1}(U_v), \quad \iota_v := \iota|_{C_v}, \quad f_v := f|_{C_v}.$$

Каждая из карт  $U_v$  снабжена выделенным симплектоморфизмом на  $\mathbb{T}^*(I_e)$ . Таким образом, производящее семейство  $(E_e, F_e)$  на ребре  $I_e$  порождает точную кривую  $\gamma_{E_e, F_e}$  на  $U_v$ .

**Definition 9.** Кривая  $\gamma \subset \mathbb{S}(\mathcal{T})$  локально допускает производящее семейства, если  $\forall v \in \mathcal{V}(\Gamma)$  точная кривая  $\gamma_v \subset \mathbb{T}^*(I_v)$ , допускает производящее семейство  $(E_v, F_v) \in Gf(I_v)$ .

Это определение выглядит не слишком осмысленно. Мы получим более содержательное объект, если для каждого ребра  $e \in \mathcal{E}(\Gamma, v, w)$  наложим условие согласованности на

$$(E_v, F_v) \text{ и } (E_w, F_w).$$

Предположим для начала, что ребро  $e$  не является ножкой ни для  $v$ , ни для  $w$ . Тогда семейства можно ограничить на  $J_e$ . В качестве условия согласованности можно потребовать, чтобы

$$(E_w, F_w)|_{J_e} \cong^{st} (E_v, F_v)|_{J_e}.$$

Чтобы наложить аналогичное условие в случае, когда  $e$  является ножкой для одной из вершин, которые она соединяет, надо для каждой вершины  $w$ ,  $d(w) = 3$  определить ограничение

$$\cdot|_{l(w)} : Gf(I_w) \rightarrow Gf(I_{l(w)}),$$

такое, что для каждого  $(E, F) \in Gf(I_w)$  производящее семейство  $(E, F)|_{l(w)}$  порождает

$$\gamma_{l(e)} = (C_{l(e)}, \iota_{l(e)}, F_{l(e)}),$$

$$C_{l(e)} := \iota_{E,F}^{-1}(T^*(I_{l(e)})), \quad \iota_{l(e)} := \iota_{E,F}|_{C_{l(e)}}, \quad F_{l(e)} := F|_{C_{l(e)}}.$$

Так как покрытие имеет стандартный вид, достаточно построить  $\cdot|_l$  для перекрестка  $\mathbb{S}(\perp)$ . Перейдем от  $\mathbb{S}(\perp)$  к плоскости  $\mathbb{V} = (\mathbb{R}_{q,p}^2, dp \wedge dq)$ , которую можно рассматривать как кокасательное пространство к любой из двух координатных осей. Таким образом, производящему семейству на  $O_q$  (или на  $O_p$ ) отвечает точная кривая на  $\mathbb{V}$ . Мы докажем такое утверждение

**Proposition 1.** *Кривая  $\gamma \subset \mathbb{V}$  допускает производящие семейства над  $O_q$  и  $O_p$  одновременно.*

Для этого нам надо научиться переписывать семейство над  $O_q$  как семейство над  $O_p$ , то есть семейству  $(E, F) \in Gf(O_q)$  сопоставить  $(\tilde{E}, \tilde{F}) \in Gf(O_p)$  так, чтобы  $\gamma_{\tilde{E}, \tilde{F}} = \gamma_{E, F}$ . Тогда

$$(E, F)|_{l(w)} := (\tilde{E}, \tilde{F})|_{p>0}.$$

и имеет смысл такое же условие согласованности, что и было наложено выше.

Рассмотрим симплектоморфизм  $W$ , поворачивающий  $\mathbb{V}$  на угол  $\pi$  по часовой стрелке

$$W(q, p) := (p, -q)$$

Зафиксируем отождествление  $\psi : O_q \rightarrow O_p$ , заданное ограничением симплектоморфизма  $W$ . В терминах обратного образа  $(E^\circ, F^\circ) := \psi^*(\tilde{E}, \tilde{F}) \in Gf(O_q)$  получаем следующее условие

$$\gamma_{\tilde{E}, \tilde{F}} = \gamma_{E, F} \Leftrightarrow \gamma_{E^\circ, F^\circ} = W(\gamma_{E, F}).$$

Перед тем, как привести в разделе 5 формулу для  $\circ$ , мы хотим описать, как ее получить. Наша конструкция работает в более широкой ситуации. Мы сделаем отступление и разберем в разделе 4 общий случай, чтобы мотивировать определение  $\circ$  и понять его свойства.

## 4 Оператор Чеканова

### Производящие семейства для симплектоморфизмов

Изложенная ниже конструкция работает для произвольного симплектоморфизма  $S : \mathbb{V} \rightarrow \mathbb{V}$  допускающего производящее семейство. Сейчас мы сформулируем это условие. Отождествим  $O_q$  с Евклидовым пространством  $L = (\mathbb{R}, g)$ , а  $V$  с прямой суммой

$$V = (L \oplus L, \langle \cdot, \cdot \rangle),$$

$$\langle (u, l), (s, v) \rangle = g(u, s) + g(l, v).$$

Подстановка в спаривание  $\langle \cdot, \cdot \rangle$  определяет изоморфизм  $V \leftrightarrow V^*$ , применение которого обозначается добавлением  $\tilde{\cdot}$ . Тогда определен симплектоморфизм  $\varpi_{\mathbb{V}} : \overline{\mathbb{V}} \times \mathbb{V} \rightarrow \mathbb{T}^*V$

$$\varpi_{\mathbb{V}}(u, l, s, v) = (q_1, q_2, p_1, p_2) := \left( \frac{u+s}{2}, \frac{l+v}{2}, \tilde{v} - \tilde{l}, \tilde{u} - \tilde{s} \right).$$

Рассмотрим образ графика  $gr_S := \{(v, S(v))\}$  симплектоморфизма  $S$  под действием  $\varpi_{\mathbb{V}}$

$$\mathcal{L}_S := \varpi_{\mathbb{V}}(gr_S) \subset \mathbb{T}^*V.$$

Заметим, что  $\mathcal{L}_S$  является Лагранжевым подмногообразием кокасательного расслоения  $\mathbb{T}^*V$ .

**Definition 10.** *Производящее семейство для  $S$  это такое  $(H, G) \in Gf(V)$ , что*

$$\mathcal{L}_S = \{(q, p) \mid \exists x \in H_q, \frac{\partial}{\partial q} G(x) = p, \frac{\partial}{\partial \xi} G(x) = 0\}.$$

Рассмотрим следующие данные:

- производящее семейство  $(E, F) \in Gf(L)$ ;
- производящее семейство  $(H, G) \in Gf(V)$ , порождающее симплектоморфизм  $S$ .

Обозначим за  $M(E; S)$  расслоение  $E \times H \rightarrow L$ . Подставим  $E = L_q \times W_\xi$  и  $H = V_{v,t} \times U_\chi$

$$M(E; S) = L_q \times W_\xi \times L_v \times L_t \times U_\chi.$$

Определим функцию  $P(F, S) \in C^\infty(M(E; S))$ , заданную следующим образом

$$P(F; S) := F(u, \xi) + G(l, t, \chi) - g(v, t), \text{ где}$$

$$u = q + v, \quad l = q + v/2.$$

**Definition 11.** *Оператор Чеканова для симплектоморфизма  $S$  с фиксированным производящим семейством  $(H, G) \in Gf(V)$  это следующее отображение  $Ch_S : Gf(L) \rightarrow Gf(L)$*

$$Ch_S(E, F) = (M(E; S), P(F; S))$$

**Proposition 2.** *Для стабильно эквивалентных семейств  $(E_i, F_i) \in Gf(L)$  выполнено*

$$Ch_S(E_1, F_1) \cong^{st} Ch_S(E_2, F_2).$$

*Доказательство.* 1) Предположим, что  $(E_i, F_i)$  эквивалентны, то есть существует расслоенный диффеоморфизм,  $\psi : E_1 \rightarrow E_2$  для которого  $F_1 = \psi^* F_2$ . Тогда  $P_1 = \eta^* P_2$  для

$$\eta : M_1 \rightarrow M_2, \quad \eta(q, \xi, v, t, \chi) := (q, \psi(\xi), v, t, \chi)$$

2) Если  $(E', F')$  это стабилизация семейства  $(E, F)$ , то  $(M', P')$  является стабилизацией  $(M, P)$ , так как для векторного пространства  $V$  и невырожденной квадратичной формы  $q$  на  $V$  верно

$$Ch_S[(E, F) \oplus (V, Q)] = Ch_S(E, F) \oplus (V, Q),$$

□

**Example 10.** *Заметим, что  $\pi_V$  переводит диагональ  $\Delta_V$  в  $0_V$ , так что тождественный симплектоморфизм  $Id_V$  допускает производящую функцию  $G \equiv 0$ . Применим оператор  $Ch_{Id}$*

$$P(F; Id_V) := F(q + v, \xi) - g(v, t).$$

*Легко видеть, что  $Ch_{Id_V}(E, F)$  порождает кривую  $\gamma_{E,F}$ . Заметим, что более того*

$$(E, F) \cong^{st} Ch_{Id_V}(E, F).$$

*Координата  $q$  определяет отождествление прямой  $L$  с множеством вещественных чисел. Так как разность  $f(q, \xi, v) := F(q + v, \xi) - F(q, \xi)$  тождественно зануляется при  $v = 0$ , корректно определено следующее гладкое отображение  $\psi$  из расслоения  $M$  в себя*

$$\psi : (q, \xi, v, t) \mapsto (q, \xi, v, t + \frac{f(q, \xi, v)}{v}).$$

*Очевидно, это расслоенный диффеоморфизм, для которого верно  $\psi^* P(F, Id_V) = F$ .*

Оператор  $Ch_S$  был придуман с использованием описания действия симплектической редукции на Лагранжевых подмногообразиях, допускающих производящие семейства. Аналогичная процедура впервые была применена в статье [11].

## Главное свойство оператора $Ch$

Зафиксируем  $(E, F)$ ,  $S$  и  $(H, G)$ . Обозначим за  $\phi$  ограничение на  $C_{M,P}$  отображения

$$M \rightarrow E, (q, \xi, v, t, \chi) \mapsto (q + v, \xi)$$

**Proposition 3.**  $\phi$  является диффеоморфизмом на  $C_{E,F}$  и определяет равенство кривых

$$\iota_{M,P} = S \circ \iota_{E,F} \circ \phi \Rightarrow \gamma_{M,P} = S(\gamma_{E,F}).$$

*Доказательство.* Множество  $C_{M,P}$  послонных критических точек  $P$  задается как

$$Z := (q, \xi, v, t, \chi) \in C_{M,P} \Leftrightarrow \begin{cases} F_\xi(u, \xi) = 0, \\ G_\chi(l, t, \chi) = 0, \\ P_v(Z) = 0, \\ P_t(Z) = 0, \end{cases}, \text{ где } \begin{cases} u = q + v, \\ l = q + v/2. \end{cases}$$

Последние два уравнения образуют следующую систему уравнений на переменные  $q, v$  и  $t$

$$\begin{cases} P_v(Z) = 0, \\ P_t(Z) = 0 \end{cases} \Leftrightarrow \begin{cases} F_q(u, \xi) + \frac{1}{2}G_v(l, t, \chi) - \tilde{t} = 0, \\ G_t(l, t, \chi) - \tilde{v} = 0, \end{cases} \Leftrightarrow \begin{cases} G_v(l, t, \chi) = 2\tilde{t} - 2F_q(u, \xi), \\ G_t(l, t, \chi) = \tilde{v}. \end{cases}$$

Сопоставим четверке  $(q, \xi, v, t) \in L \times W \times L \times L$  кокасательный вектор

$$T := (q + v/2, t, 2\tilde{t} - 2F_q(u, \xi), \tilde{v}) \in T^*V.$$

Так как  $(H, G)$  порождает Лагранжево подмногообразие  $\mathcal{L}_S$ , следующая система на  $\chi \in U$

$$\begin{cases} G_\chi(l, t, \chi) = 0, \\ P_v(Z) = 0, \\ P_t(Z) = 0, \end{cases} \Leftrightarrow \begin{cases} G_\chi(l, t, \chi) = 0, \\ G_v(l, t, \chi) = 2\tilde{t} - 2F_q(u, \xi), \\ G_t(l, t, \chi) = \tilde{v} \end{cases}$$

имеет решение тогда и только тогда, когда  $T \in \mathcal{L}_S$ . В этом случае, решение  $\chi$  единственно. Пользуясь равенством  $\mathcal{L}_S := \varpi_V^{-1}(gr_S)$  и формулой для обращения симплектоморфизма  $\varpi_V$

$$\varpi_V^{-1}(q_1, q_2, p_1, p_2) = (q_1 + \tilde{p}_2/2, q_2 - \tilde{p}_1/2, q_1 - \tilde{p}_2/2, \tilde{p}_1/2 + q_2),$$

переписываем это условие в терминах  $\varpi_V^{-1}(T) = (q + v, \widetilde{F_q(u, \xi)}, q, 2t - \widetilde{F_q(u, \xi)})$  как

$$\begin{aligned} T \in \mathcal{L}_S &\Leftrightarrow \varpi_V^{-1}(T) \in gr_S \Leftrightarrow \\ &\Leftrightarrow S(q + v, \widetilde{F_q(u, \xi)}) = (q, 2t - \widetilde{F_q(u, \xi)}). \end{aligned}$$

Пользуясь выражением  $P_q(Z) = F_q(q + v, \xi) + G_v(q + v/2, t, \chi)$  получаем равносильность

$$T \in \mathcal{L}_S \Leftrightarrow S(u, \widetilde{F_q(u, \xi)}) = (q, \widetilde{P_q(Z)}).$$

Таким образом, проекция вдоль  $L \times U$  определяет диффеоморфизм  $C_{M,P}$  и подмногообразия

$$G := \{(q, \xi, v) \mid F_\xi(u, \xi) = 0, S(u, \widetilde{F_q(u, \xi)}) = (q, \widetilde{P_q(Z)}) \text{ где } u = q + v\} \subset L \times W \times L.$$

Ограничение отображения  $L \times W \times L \rightarrow E, (q, \xi, v) \rightarrow (q + v, \xi)$  на  $G$  бьет в  $C_{E,F}$ . Оно является диффеоморфизмом, так как допускает гладкое обратное отображение, заданное

$$(u, \xi) \mapsto (q, \xi, u - q), \text{ где } q := pr_L \circ S \circ \iota_{E,F}(u, \xi).$$

Таким образом  $\phi$  является композицией диффеоморфизмов. Осталось заметить, что

$$\iota_{M,P}(q, \xi, v, t, \chi) = (q, \widetilde{P_q(Z)}) = S(u, \widetilde{F_q(u, \xi)}) = S(\iota_{E,F}(u, \xi)) = S \circ \iota_{E,F} \circ \phi(q, \xi, v, t, \chi).$$

□

## Локализация оператора Чеканова

Оператор Чеканова  $Ch_S$  не обладает важным свойством локальности: при малом изменении  $F$ , которое может вообще не поменять  $C_{E,F}$  и  $\iota_{E,F}$ , функция  $P$  меняется драматически.

**Example 11.** Рассмотрим производящее семейство  $(E, F) \in Gf(L)$  и разложение

$$F = f + \epsilon,$$

для которого функция  $\epsilon \in C^\infty(E)$  имеет компактный носитель. Тогда точная кривая  $\gamma_{E,F}$  совпадает с подмножеством  $\gamma_{E,f} \subset V$  вне компакта, а значит это верно и для их образов

$$S(\gamma_{E,F}) \cap (V - K) = S(\gamma_{E,f}) \cap (V - K).$$

Тем не менее, ограничение на слой  $M_q$  разности

$$\delta|_{M_q} := (P(F) - P(f))|_{M_q} = \epsilon(u, \xi)$$

не зануляется тождественно ни при каких значениях параметра  $q$ .

До конца этого раздела мы для каждого такого  $\epsilon$  построим расслоенный диффеоморфизм  $\psi : M \rightarrow M$ , после применения которого носитель  $\delta$  становится компактен.

Мы будем использовать утверждение, которое сейчас докажем, в более общей ситуации. Зафиксируем произвольное разложение  $F = f + \epsilon$  без условий на  $f$  и  $\epsilon$ . Положим, как раньше

$$(M, P) := (M(E, W), P(F, W)).$$

Зафиксируем произвольную функцию  $\phi \in C^\infty(L)$  и определим новое  $\hat{P} \in C^\infty(M)$  как

$$\hat{P}(q, \xi, v, t, \chi) = f(u, \xi) + \phi(q)\epsilon(u, \xi) + G(l, t, \chi) - g(v, t), \text{ где}$$

$$u = q + v, \quad l = q + v/2.$$

Естественно, для  $\phi \equiv 1$  мы получаем предыдущую функцию  $P$ . С другой стороны, если носители  $\phi$  и  $\epsilon$  компактны,  $\hat{P}$  совпадает с  $P(f)$  вне компакта. Сейчас мы сформулируем условия, при которых  $(M, \hat{P})$  порождает  $\gamma_{M,P}$ . Для начала, введем для каждого  $r \in L$

$$F_r := f + \phi(r)\epsilon \in C^\infty(M).$$

Теперь рассмотрим подмножество  $O \subset L$ , определенное следующим образом

$$O := pr_L \circ S \circ \iota_{E,F}(C_{E,F} \cap \text{supp } \epsilon) \cup \{r \in L \mid \exists (q, \xi) \in C_{E,F_r} \cap \text{supp } \epsilon : pr_L \circ S \circ \iota_{E,F_r}(q, \xi) = r\}.$$

**Proposition 4.** Если  $\phi \equiv 1$  на некоторой открытой окрестности  $Op(O)$ , то  $\gamma_{M,P} = \gamma_{M,\hat{P}}$ .

*Доказательство.* Мы докажем, что  $P$  и  $\hat{P}$  тождественно совпадают на открытой окрестности

$$C_{M,P} \cup C_{M,\hat{P}} \subset M.$$

Из этого сразу следует, что  $C_{M,P} = C_{M,\hat{P}}$  и  $\iota_{M,P} \equiv \iota_{M,\hat{P}}$ , а значит и равенство кривых.

1) Заметим, что  $\forall r \in L$  функции  $F$  и  $F_r$  тождественно равны на окрестности  $C_r \cup \hat{C}_r$ , где

$$C_r = \{(q, \xi) \in C_{E,F} \mid pr_L \circ S \circ \iota_{E,F}(q, \xi) = r\}, \quad \hat{C}_r := \{(q, \xi) \in C_{E,F_r} \mid pr_L \circ S \circ \iota_{E,F_r}(q, \xi) = r\}.$$

Действительно  $F - F_r = (1 - \phi)\epsilon$ ,  $\phi|_{Op(O)} \equiv 1$ , а для  $r \notin O$  по определению  $C_r \cup \hat{C}_r \subset E - \text{supp } \epsilon$ .

Тогда  $C_r = \hat{C}_r$  и кроме того тождественно равны  $pr_{L^*} \circ S \circ \iota_{E,F}|_{C_r} = pr_{L^*} \circ S \circ \iota_{E,F_r}|_{C_r}$ .

2) Для  $Q \in C^\infty(M)$  обозначим множество критических точек ограничения  $Q$  на слой  $M_{q_0}$  за

$$X_{q_0}(Q) := C_{M,Q} \cap M_{q_0} = \{(q_0, \xi, l, v, \chi) \mid dQ|_{W \times L \times L \times U} = 0\} \subset M_{q_0}.$$

Из доказательства утверждения 3 следует, что для каждой функции  $H \in C^\infty(E)$  выполнено

$$X_{q_0}(P(H)) = \{(\xi, u - q, p/2 + \frac{\partial}{\partial q} H(u, \xi)/2) \mid (u, \xi) \in C_{E,H}, \quad q_0 = pr_L \circ S \circ \iota_{E,H}(u, \xi), \quad p = pr_{L^*} \circ S \circ \iota_{E,H}(u, \xi)\}.$$



3) Докажем, что множества  $X_{q_0}(P)$  и  $X_{q_0}(\widehat{P})$  совпадают. Заметим, что

$$\widehat{P}|_{M_{q_0}} = [f(u, \xi) + \phi(q_0)\epsilon(u, \xi) + G(l, t, \chi) - g(v, t)]|_{M_{q_0}} = P(F_{q_0})|_{M_{q_0}}.$$

Таким образом, используя два предыдущих пункта, получаем, что

$$\begin{aligned} X_{q_0}(P) &= \{(\xi, u - q, p/2 + \frac{\partial}{\partial q}F(u, \xi)/2) \mid (u, \xi) \in C_{q_0}, p = pr_{L^*} \circ S \circ \iota_{E, F}(u, \xi)\} = \\ &= \{(\xi, u - q, p/2 + \frac{\partial}{\partial q}F_{q_0}(u, \xi)/2) \mid (u, \xi) \in \widehat{C}_{q_0}, p = pr_{L^*} \circ S \circ \iota_{E, F_{q_0}}(u, \xi)\} = X_{q_0}(P(F_{q_0})) = X_{q_0}(\widehat{P}). \end{aligned}$$

4) Осталось проверить, что  $P$  и  $\widehat{P}$  тождественно совпадают на окрестности  $X_q(P)$ . Так как

$$P - \widehat{P} = (1 - \phi(q))\epsilon(u, \xi),$$

достаточно для  $(q, \xi, l, v, \chi) \in X_q(P)$ ,  $q \notin Op(O)$  заметить, что  $(u, \xi) \in C_q \subset E - \text{supp } \epsilon$ .  $\square$

Теперь мы в качестве следствия получим утверждение, анонсированное выше.

**Proposition 5.** *Рассмотрим производящее семейство  $(E, F) \in Gf(L)$ , разложенное как*

$$F = f + \epsilon, \text{ где } \text{supp } \epsilon \text{ компактен.}$$

*Тогда существует расслоенный диффеоморфизм  $\psi$ , для которого компактен носитель*

$$\delta := \psi^*P - P(f).$$

*Доказательство.* Конструкция проходит в 2 шага: сначала мы строим  $\phi$ , для которого  $\widehat{P}$  и  $P(f)$  совпадают вне компакта, а потом расслоенный диффеоморфизм  $\psi$ , переводящий  $P$  в  $\widehat{P}$ .

1) Построим функцию  $\phi$ . Так как носитель  $\epsilon$  компактен, объединение подмножеств

$$pr_L \circ S \circ \iota_{E, F}(C_{E, F} \cap \text{supp } \epsilon) \cup pr_L(\text{supp } \epsilon) \subset L$$

содержится в некотором отрезке  $I$ . Если  $\phi \equiv 1$  на некоторой открытой окрестности  $I$ , то

$$O = pr_L \circ S \circ \iota_{E, F}(C_{E, F} \cap \text{supp } \epsilon) \subset I,$$

а значит для  $f$ ,  $\epsilon$  и  $\phi$  применима предыдущее предложение. Теперь рассмотрим  $\phi \in C^\infty(L)$

$$0 \leq \phi(q) \leq 1$$

$$\phi|_{Op(I)} \equiv 1, \phi|_{L-J} \equiv 0$$

для некоторого интервала  $J \subset L$ , содержащего  $Op(I)$ . Так как носители  $\epsilon$  и  $\phi$  компактны, разность  $\widehat{P} - P(f) = \phi(q)\epsilon(u, \xi)$  имеет компактный носитель.

2) Осталось построить расслоенный диффеоморфизм, переводящий  $P$  в  $\widehat{P}$ . Для семейства

$$\phi_t := (1 - t)\phi + t,$$

связывающего  $\phi_0 \equiv \phi$  и  $\phi_1 \equiv 1$ , выполнены условия  $\phi_t|_{Op(I)} \equiv 1$ ,  $\phi_t|_{L-J} \equiv 0$ , так что

$$(M, \widehat{P}_t) \in Gf(L)$$

порождают кривую  $\gamma_{M, P}$ . При этом, на каждом слое  $M_q$  все функции  $\widehat{P}_t|_{M_q}$  совпадают вне (одного и того же) компакта  $\text{supp } \epsilon$ . Теперь из гомотопического метода следует, что все  $\widehat{P}_t$  эквивалентны друг другу. Проведем это рассуждение до конца.

3) Напомним, что все подмногообразия послонных критических точек совпадают

$$C_t = C, \text{ где } C_t := C_{M, \widehat{P}_t} \subset M,$$

причем критические значения  $\widehat{P}_t$  равны в каждой точке  $C$ . Мы построим диффеотопию

$$\psi_t : M \rightarrow M, \psi_t(M_q) = M_q,$$

$$\psi_t^*(\widehat{P}_t) = \widehat{P}_0 = \widehat{P}.$$

Семейство  $\psi_t$  определяется семейством векторных полей  $X_t$ , касающихся слоев  $M_q$

$$\frac{\partial}{\partial t}\psi_t = X_t(\psi_t).$$

Условие  $\psi_t^*(\widehat{P}_t) = \widehat{P}_0$  равносильно следующему тождеству на поля  $X_t$

$$\mathcal{L}_{X_t}\widehat{P}_t = -\frac{\partial}{\partial t}\widehat{P}_t.$$

Мы можем положить  $X_t$  равным нулю во всех критических точках  $C$ , а вне них приравнять

$$X_t|_{M_q} := \frac{-\frac{\partial}{\partial t}\widehat{P}_t}{|d\widehat{P}_t|_{M_q}} \nabla(\widehat{P}_t|_{M_q}).$$

□

## 5 Производящие семейства на Арбореллевских графах

### Точные кривые на перекрестке

**Definition 12.** *Ограниченное производящее семейство на перекрестке  $\perp$  это*

$$(E, F) \in Gf(O_q), \text{ для которого } \gamma_{E,F} \subset \Sigma(\perp).$$

Множество ограниченных производящих семейств на  $\perp$  обозначается за  $Gf^c(\perp)$ .

Кривая  $\gamma_{E,F}$ , порожденная  $(E, F) \in Gf(O_q)$ , лежит в  $\Sigma(\perp)$  тогда и только тогда, когда

$$\forall(q, \xi) \in \{F_\xi(q, \xi) = 0\} \text{ выполнено}$$

$$\begin{cases} F_q(q, \xi) \geq -1, \\ |q| - 1 \leq 1, \\ F_q(q, \xi) \leq 1. \end{cases}$$

Сейчас мы наконец определим оператор  $\cdot|_l : Gf(\perp) \rightarrow Gf(l)$ . Мы сделаем это в два шага: сначала с помощью оператора Чеканова для поворота  $W$  определим  $\circlearrowleft$ , а потом локализуем его, пользуясь тем, что все рассматриваемые нами кривые лежат в области  $\Sigma(\perp)$ .

*Доказательство предложения 1.* Симплектоморфизм  $W$  допускает производящую функцию

$$H = V, \quad G \in \mathcal{C}^\infty(V),$$

$$G(u, l) := -\langle u, u \rangle - \langle l, l \rangle.$$

Действительно, для диффеоморфизма  $b : V \rightarrow V$ ,  $b(u, l) := (\frac{l+u}{2}, \frac{l-u}{2})$  выполнено тождество

$$\iota_{H,G}(b(u, l)) = (b(u, l), dG(b(u, l))) = (\frac{u+l}{2}, \frac{l-u}{2}, -\tilde{u}-\tilde{l}, \tilde{u}-\tilde{l}) = \varpi_V(u, l, l, -u) = \varpi_V \circ gr_{W_V}(u, l) \Rightarrow$$

$$\Rightarrow \iota_{H,G} \circ b = \varpi_V \circ gr_W \Rightarrow \mathcal{L}_S = \iota_{H,G}(V).$$

Рассмотрим точную кривую  $\gamma \subset \mathbb{V}$ , допускающую производящее семейство  $(E, F) \in Gf(L)$ . Применяя конструкцию  $Ch$  к симплектоморфизму  $W$  и  $(E, F) \in Gf(L)$ , получаем

$$M(E, W) = L_q \times W_\xi \times L_v \times L_t,$$

$$\begin{aligned} P(F, W)(q, \xi, v, t) &= F(u, \xi) - g(l, l) - g(t, t) - g(v, t) = F(q+v, \xi) - g(q+v/2, q+v/2) - g(t, t) - g(v, t) = \\ &= F(q+v, \xi) - g(q, q+v) - g(v/2+t, v/2+t). \end{aligned}$$

Из предложения 3 следует, что  $\gamma_{M,P} = W(\gamma_{E,F})$ , так что  $\psi_*(E, F) \in Gf(O_p)$  порождает  $\gamma$ . □

Выбрасывая из производящего семейства  $C_W(E, F)$  лишнюю переменную  $v/2+t$ , получаем

**Definition 13.** *Оператор поворота*  $\circlearrowleft: Gf(L) \rightarrow Gf(L)$  определяется как

$$E^{\circlearrowleft} := L_q \times W_\xi \times L_u,$$

$$F^{\circlearrowleft}(q, \xi, u) := F(u, \xi) - g(u, q).$$

Сейчас мы изменим определение, используя описанную выше процедуру локализации. Зафиксируем сглаживающую функцию  $\phi \in C^\infty(L)$ , заданную следующими условиями

$$0 \leq \phi(q) \leq 1,$$

$$\phi|_{|q|>2} \equiv 0, \quad \phi|_{|q|<5/4} \equiv 1.$$

Рассмотрим производящее семейство  $(E, F) \in Gf^c(\perp)$ . Разобьем функцию  $F$  в сумму

$$F(q, \xi) = F_c(q, \xi) + F_{nc}(q, \xi) := \phi(q)F(q, \xi) + (1 - \phi(q))F(q, \xi).$$

Определим производящее семейство  $(E^\dagger, F^\dagger) \in Gf(L)$  следующим образом

$$E^\dagger := E^{\circlearrowleft}, \quad F^\dagger := \widehat{F^{\circlearrowleft}},$$

где в формуле для  $\widehat{F^{\circlearrowleft}}$  мы используем наше зафиксированное  $\phi$ . Ее можно записать явно как

$$F^\dagger(q, \xi, u) := F_c(u, \xi) + \phi(q)F_{nc}(u, \xi) - g(u, q) = \phi(u)F(u, \xi) + (1 - \phi(u))\phi(u)F_{nc}(u, \xi) - g(u, q).$$

**Proposition 6.** *Для произвольного  $(E, F) \in Gf^c(\perp)$  кривые  $\gamma_{E^\dagger, F^\dagger}$  и  $W(\gamma_{E, F})$  совпадают.*

*Доказательство.* Достаточно доказать, что  $\gamma_{E^\dagger, F^\dagger} = \gamma_{E^{\circlearrowleft}, F^{\circlearrowleft}}$ .

Воспользуемся предложением 4 для  $f = F_c$ ,  $\epsilon = F_{nc}$  и заданного  $\phi$ . По определению,

$$O = pr_{L^*} \circ \iota_{E, F_c}(C_{E, F_c} \cap \text{supp } F_{nc}) \cup \{r \in L \mid \exists (q, \xi) \in C_{E, F_c, r} \cap \text{supp } F_{nc} : pr_{L^*} \circ \iota_{E, F_c, r}(q, \xi) = r\}.$$

Так как  $(E, F) \in Gf^c(\perp)$  подмножество  $\gamma_{E, F_c}$  и все  $\gamma_{E, F_c, r} \subset V$  лежат в  $\Sigma(\perp)$ , то

$$q \in \text{supp } F_{nc} \Rightarrow |q| > 1 \Rightarrow |pr_{L^*} \circ \iota_{E, F_c}| < 1 \Rightarrow O \subset [-1, 1].$$

Следовательно,  $\phi \equiv 1$  на окрестности  $O$ , и утверждение применимо.  $\square$

**Definition 14.** *Оператор ограничения*  $\cdot|_l$  производящего семейства с  $\perp$  на  $l$  задается как

$$\cdot|_l : Gf^c(\perp) \rightarrow Gf(O_{p>0})$$

$$(E, F)|_l := (\psi_*(E^\dagger, F^\dagger))|_{O_{p>0}}$$

В дальнейшем, нам понадобится обратить  $\dagger$ . На первый взгляд, это невозможно, так как оператор Чеканова увеличивает ранг расслоения. Но мы изучаем семейства с точностью до стабильной эквивалентности, так что нам достаточно стабильной обратимости. Рассмотрим оператор  $-\dagger$ , построенный по описанной выше схеме но для симплектоморфизма  $W^{-1}$ . Заметим, что производящая функция  $-G$  порождает симплектоморфизм  $W^{-1}$ , так что

$$F^{\circlearrowright}(q, \xi, u) := F(u, \xi) + g(u, q).$$

**Proposition 7.** *Для любого семейства  $(E, F) \in Gf^c(\perp)$  существует эквивалентность*

$$((E, F)^\dagger)^{-\dagger} \cong (E, F) \oplus (L_v \oplus L_l, g(v, v) + g(l, l)).$$

*Доказательство.* Достаточно проверить это тождество для операторов  $\circlearrowleft$  и  $\circlearrowright$ . В этом случае

$$(F^{\circlearrowright})^{\circlearrowleft}(q, \xi, u, v) = F(u, \xi) - vu + vq = F(u, \xi) + v(q - u).$$

Заменяя  $u$  на  $u + q$  получаем обычную формулу для  $P(F, Id_V)$ .  $\square$

## Производящие семейства на Арбореллевских графах

Зафиксируем Арбореллевский граф  $\mathcal{T}$ , Лиувиллеву поверхность  $\mathbb{S}(\mathcal{T})$  и ее подобласть  $\Sigma(\mathcal{T})$ . Напомним, что  $\Sigma(\mathcal{T})$  покрывается стандартными картами  $W_v$ , пронумерованными  $\mathcal{V}(\Gamma)$ . Рассмотрим набор  $(E_v, F_v) \in Gf(I_v)$  производящих семейств, такой, что для каждого ребра  $e$ , соединяющего вершины  $v$  и  $w$ , зафиксирована стабильная эквивалентность ограничений

$$(E_v, F_v)|_{J_e} \cong^{st} (E_w, F_w)|_{J_e}.$$

Заметим, что кривые  $\gamma_{E_v, F_v}$  совпадают на пересечениях карт и склеиваются в кривую  $\gamma_{\mathcal{E}, \mathcal{F}}$ . В таком случае говорят, что  $(\mathcal{E}, \mathcal{F})$  порождает кривую  $\gamma_{\mathcal{E}, \mathcal{F}}$ .

**Definition 15.** *Ограниченное производящее семейство на Арбореллевском графе  $\mathcal{T}$  это*

$$(\mathcal{E}, \mathcal{F}) \in \sqcup_{v \in \mathcal{V}(\Gamma)} Gf(I_v)$$

которое порождает кривую  $\gamma_{\mathcal{E}, \mathcal{F}}$ , лежащую в  $\Sigma(\mathcal{T})$ . Они образуют множество  $Gf^c(\mathcal{T})$ .

Рассмотрим подгруппу  $Ham(\Sigma(\mathcal{T})) \subset Ham^c(\mathbb{S}(\mathcal{T}))$  гамильтоновых симплектоморфизмов, носитель которых лежит в  $\Sigma(\mathcal{T})$  и не пересекает  $\mathbb{D}_v - R_e$ , если  $e$  это единственное ребро  $v$ . Для доказательства теоремы 1 нам понадобится следующая версия Леммы о фрагментации.

**Lemma 1** ([8]). *Любой элемент  $\psi \in Ham(\Sigma(\mathcal{T}))$  можно разложить в композицию*

$$\psi = \psi_n \circ \dots \circ \phi_1, \quad \psi_i \in Ham(\Sigma(\mathcal{T}))$$

так, что  $\psi_i$   $C^1$ -близко к  $id$  и имеет компактный носитель, лежащий в карте  $W_{v_i}$ .

*Доказательство теоремы 1.* Зафиксируем кривую  $\gamma$ , допускающую производящее семейство. Мы будем доказывать утверждение теоремы по индукции по длине кратчайшего разложения

$$\psi = \psi_n \circ \dots \circ \psi_1$$

Заметим, что шаг и база индукции совпадают с частным случаем утверждения для

$$\psi \in Ham(W_v), \quad C^1\text{-близкого к } Id.$$

Рассмотрим образ кривой  $\delta := \psi(\gamma)$ . Мы хотим построить семейства  $(H_w, G_w)$ , порождающие

$$\delta_w \subset W_w$$

так, чтобы они были стабильно эквивалентны друг другу на пересечениях. Рассмотрим форму

$$q : V_{x,y} \rightarrow \mathbb{R}, \quad q(x, y) := g(x, x) + g(y, y).$$

Следующая лемма сразу следует из свойства гамильтонова подъема для семейств над  $L$  в той форме, в которой оно доказано в статье [15].

**Lemma 2.** *Рассмотрим Гамильтонову изотопию  $\psi \in Ham(\Sigma(\perp))$   $C^1$ -близкую к  $Id$ . Для  $(E, F) \in Gf(\perp)$  существует функция  $h$  на  $H := E \times V_{x,y}$  с компактным носителем, что*

$$\phi(\gamma_{E, F}) = \gamma_{H, G}, \quad \text{где } G(q, \xi, v, t) := F(q, \xi) + q(x, y) + h(q, \xi, v, t).$$

Используя Лемму, заменим семейство  $(E_v, F_v)$  на новое семейство, порождающее  $\delta_v$

$$(H_v := E_v \times V, G_v := F_v + q + h).$$

Пусть  $d(v) = 3$ . Напомним, что для из компактности носителя функции  $h \in C^\infty(E_v)$  следует существование расслоенного диффеоморфизма  $\psi : M \rightarrow M$ , такого, что носитель разности  $\delta := \psi^*(F + h)^\dagger - F^\dagger$  компактен. Подкрутим тривиализацию  $H_v|_{I_1(v)}$  на диффеоморфизм  $\psi$ . Теперь построим  $(H_w, G_w)$  для остальных вершин  $w$ . Если  $w$  и  $v$  не соединены ребром,  $U_w$  не пересекается с носителем  $\psi$  и кривые  $\delta_w$  и  $\gamma_w$  совпадают. В этом случае, положим

$$(H_w := E_w \times V, G_w := F_w + q).$$

Осталось разобраться с вершинами, соседними с  $v$ . Для каждой такой вершины  $w$  пересечение  $W_w$  с носителем  $\psi$  содержится в ленте, отвечающей их общему ребру  $e$ . На  $J_e$  уже задано производящее семейство для кривой  $\delta$ . Так как  $\dagger$  переводит стабильно эквивалентные семейства в стабильно эквивалентные, это семейство отличается от  $F_w|_{J_e} + h$  на функцию  $\epsilon_w$ , носитель которой лежит вне  $\mathbb{D}_w$ . Мы воспользуемся следующей Леммой

**Lemma 3.** *Рассмотрим перекресток  $\perp$ , одно из его ребер  $e$  и пару производящих семейств*

$$(E, F) \in Gf^c(\perp), (H, G) \in Gf(I_e).$$

*Пусть стабилизация ограничения  $(E, F)|_{I_e} \oplus (V, q)$  совпадает с семейством  $(H, G)$  на*

$$J_e \cap K, v \in K$$

*пересечения  $J_e$  и некоторого подинтервала  $K$  ребра  $e$ , содержащего  $v$ . Тогда существует*

$$(\tilde{E}, \tilde{F}) \in Gf^c(\perp),$$

*ограничение которого на  $e$  удовлетворяет  $(\tilde{E}, \tilde{F})|_{J_e} \cong^{st} (H, G)|_{J_e}$ , а на другие ребра*

$$(\tilde{E}, \tilde{F})|_{J_{e'}} \cong (E, F)|_{J_{e'}} \oplus (V, q).$$

*Доказательство Леммы.* Либо  $e$  является ножкой вершины  $v$ , либо не является.

1) Пусть  $e$  не ножка вершины  $v$ . Тогда на  $I_v$  заданы два производящих семейства

$$(E, F) \oplus (V, h) \text{ и } (H, G),$$

совпадающие на окрестности  $K = Op(v)$ . Склеим их в одно семейство  $(\tilde{E}, \tilde{F})$ , совпадающее с  $(H, G)$  на всем  $J_e$  и с  $(E, F) \oplus (V, h)$  на втором из ребер, образующих шляпку  $v$ . Осталось проверить утверждение об ограничении на  $l(v)$ . Из определения сразу следует, что

$$\tilde{F}^\dagger|_{J_{l(v)}} = (\tilde{F}_c)^\dagger|_{J_{l(v)}} = (F + h)^\dagger|_{J_{l(v)}} = F^\dagger|_{J_{l(v)}} + h.$$

2) Пусть теперь  $d(v) = 3$ ,  $e = l(v)$ . Рассмотрим семейство  $(E, F)^\dagger \oplus (V, h)$  и склеим его с  $(H, G)$  также, как мы делали выше. Применяя к склеенному семейству  $(\tilde{H}, \tilde{G})$  оператор  $-\dagger$  получаем

$$(\tilde{E}, \tilde{F}) := (\tilde{H}, \tilde{G})^{-\dagger}.$$

Осталось проверить условия на ограничения. Для ограничений на ребра, входящие в шляпку

$$\tilde{F}|_{J_e} = \tilde{G}^{-\dagger}|_{J_e} = (\tilde{G}_c)^{-\dagger}|_{J_e} = ((F)^\dagger)^{-\dagger}|_{J_e} \cong^{st} F|_{J_e} \oplus (V, h).$$

Для ограничения на шляпку, получаем следующее тождество  $\tilde{F}|_{J_{l(v)}} = (\tilde{G}^{-\dagger})^\dagger|_{J_{l(v)}} \cong^{st} G|_{J_{l(v)}}$ .  $\square$

Применяя эту Лемму к каждой из вершин  $w$ , соседних с  $v$ , определяем семейство  $(H_w, G_w)$ . Осталось заметить, что из нашей конструкции следует два утверждения:

- ограничения семейств  $(H_w, G_w)$  стабильно изоморфны друг-другу на пересечениях карт;
- и кроме того каждое семейство  $(H_w, G_w)$  порождает  $\delta_w$  на своей карте  $U_w$ .

Первое утверждение достаточно проверять для пар вершин, хотя бы одна из которых соединена ребром с  $v$ . Действительно, если обе вершины не соседние с  $w$ , то мы просто стабилизируем соответствующие им производящие семейства, и они остаются стабильно эквивалентны. Если  $w$  соседняя с  $v$ , то для нее это следствие Леммы.

С учетом предыдущего пункта второе утверждение достаточно проверять для вершин, не соседних с  $v$ . Для них это следствие конструкции, которое мы уже обсудили выше.

Таким образом, теорема о поднятии Гамильтоновой изотопии доказана.  $\square$

## Список литературы

- [1] M Abouzaid, S Courte, S Guillermou, T Kragh *Twisted generating functions and the nearby Lagrangian conjecture.*
- [2] Mohammed Abouzaid, Paul Seidel *An open string analogue of Viterbo functoriality.*
- [3] D Alvarez-Gavela, Y Eliashberg, D Nadler *Arborealization III: Positive arborealization of polarized Weinstein manifolds.*

- [4] V. I. Arnol'd *First steps in symplectic topology* .
- [5] V. I. Arnol'd A. B. Givental' *Symplectic Geometry* .
- [6] Arnold, V.I., Gusein-Zade, S.M., Varchenko, A. N. *Singularities of Differentiable Maps*.
- [7] Michèle Audin *Vladimir Igorevich Arnold and the Invention of Symplectic Topology*.
- [8] A. Banyaga, *The Structure of Classical Diffeomorphism Groups*.
- [9] Brunella, Marco *On a theorem of Sikorav*.
- [10] M. Chaperon *On generating families*.
- [11] Yu. V. Chekanov *Critical Points of Quasi-Functions and Generating Families of Legendrian Manifolds*.
- [12] Kai Cieliebak, Yakov Eliashberg *From Stein to Weinstein and Back: Symplectic Geometry of Affine Complex Manifolds*.
- [13] Yakov Eliashberg *Weinstein manifolds revisited*.
- [14] Y. Eliashberg, M Gromov, *Convex symplectic manifolds*.
- [15] Y. Eliashberg, M Gromov, *Lagrangian Intersection theory : Finite dimensional approach*.
- [16] Golovko, Roman *On variants of Arnold conjecture*.
- [17] Sheel Ganatra, John Pardon, Vivek Shende *Microlocal Morse theory of wrapped Fukaya categories*.
- [18] Boris Khesin and Sergei Tabachnikov *VLADIMIR IGOREVICH ARNOLD* .
- [19] Dusa McDuff and Dietmar Salamon *Introduction to Symplectic Topology* .
- [20] David Nadler *Arboreal Singularities*.
- [21] David Nadler *Wrapped microlocal sheaves on pairs of pants* .
- [22] Y.-G. Oh *Floer cohomology and Arnol'd-Givental's conjecture of Lagrangian intersections*.
- [23] Sheila Sandon *Generating functions in symplectic topology*.
- [24] Paul Seidel *Fukaya Categories and Picard-Lefschetz Theory*.
- [25] Sikorav, J. C. *Problèmes d'intersections et de points fixes en géométrie hamiltonienne*.
- [26] Laura Starkston *Arboreal singularities in Weinstein skeleta*.
- [27] Alan Weinstein *Contact surgery and symplectic handlebodies*.

И. ЯКОВЛЕВ CENTER FOR ADVANCED STUDIES, SKOLTECH, MOSCOW, RUSSIA,  
INTERNATIONAL LABORATORY OF MIRROR SYMMETRY AND AUTOMORPHIC FORMS  
NATIONAL RESEARCH UNIVERSITY HIGHER SCHOOL OF ECONOMICS, MOSCOW, RUSSIA  
E-mail: [iayakovlev\\_1@edu.hse.ru](mailto:iayakovlev_1@edu.hse.ru)